

لیتوستراتیگرافی و بیوستراتیگرافی نهشته‌های پرمین در برش مارسلان، سنگرود،  
(البرز غربی)

فرشته سجادی<sup>۱</sup>، حسین پرتواذر<sup>۲</sup> و نوشین مهریان<sup>۱</sup>

<sup>۱</sup> گروه زمین شناسی، دانشکده علوم، دانشگاه تهران

<sup>۲</sup> گروه فسیل شناسی، سازمان زمین شناسی و اکتشافات معدنی کشور

(دریافت: ۸۲/۸/۲۱؛ پذیرش: ۸۳/۷/۱۴)

### چکیده

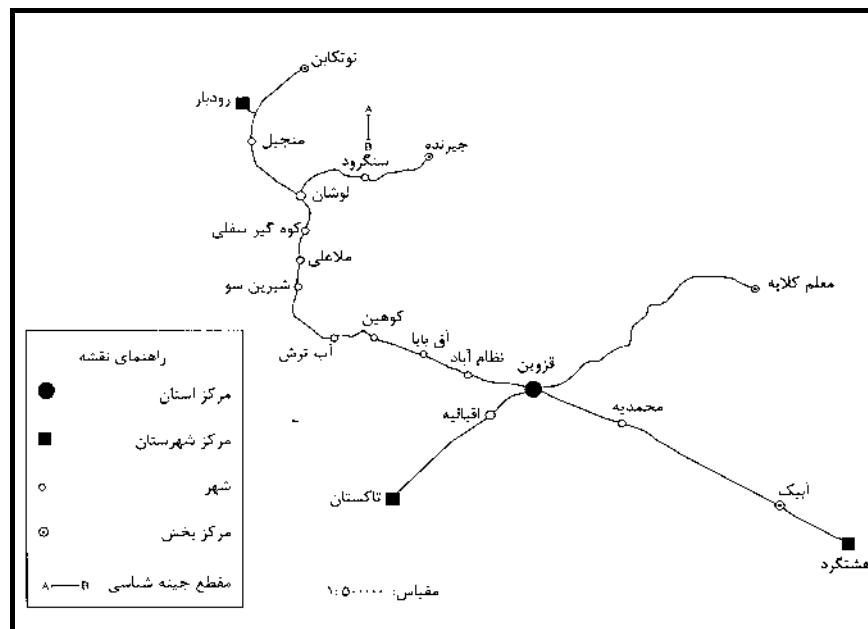
سنگهای پالئوزوئیک بالایی در دره مارسلان، در ۲۸ کیلومتری شمال شرق لوشان، شمال سنگرود، برونزد دارند. مطالعه لیتوستراتیگرافی و بیوستراتیگرافی نهشته‌های پرمین در برش مارسلان منجر به شناسایی ۵۷ گونه فرامینیفرا (متعلق به ۳۷ جنس) و ۸ جنس و گونه از جلیک‌ها شده است. همچنین سه سازند، هفت لیتوزون و بر اساس گسترش چینه شناسی میکروفسیلیای فرامینیفرا سه بیوزون تجمعی در رسوبات مربوطه، شناسایی شده است.

واحدهای سنگی مربوط به پرمین از قدیم به جدید شامل: (۱) سازند دورود (آسلين - ساکمارين) شامل ۲۲۵ متر کنگلومرای قاعده‌ای، ماسه سنگ‌قرمز، سنگ آهک انکوئیدی، سیلتستون و شیل است (قابل تقسیم به سه لیتوزون) و با ناپیوستگی فرسایشی روی سازند خاشاچال (به سن کربونیفرمیانی) قرار دارد. (۲) سازند روته (مرغابین) به ضخامت ۳۶۴ متر، شامل آهکهای صخره‌ساز (قابل تقسیم به دو لیتوزون) که با ناپیوستگی فرسایشی روی سازند دورود قرار دارد. (۳) سازند نسن (جلفین پیشین) شامل ۱۴۰ متر سنگ آهک مارنی با بین لایه‌های شیلی (قابل تقسیم به دو لیتوزون) که با ناپیوستگی فرسایشی روی سازند روته و با ناپیوستگی همشیب در زیر سازند الیکا (تریاس پیشین - میانی) قرار دارد. در منطقه مورد مطالعه وجود لایه‌های از لاتریت و بوکسیت مرز پرمین و تریاس را مشخص می‌کند. وجود این لایه‌ها نشان می‌دهد که برش مورد مطالعه در این زمان در منطقه با آب و هوای تقریباً گرم و مرطوب و نزدیک به عرض جغرافیایی ۳۰ درجه جنوبی قرار داشته است.

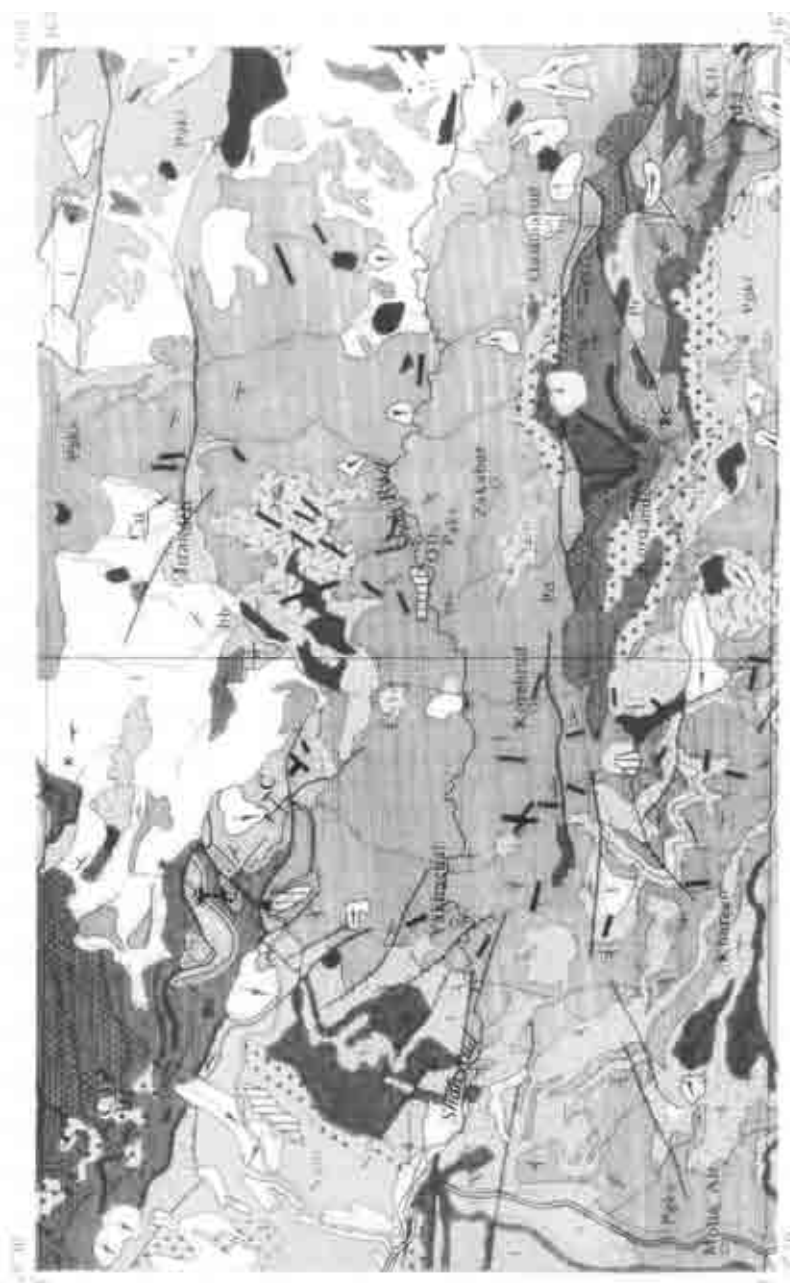
**واژه‌های کلیدی:** استراتیگرافی، پرمین، سازند دورود، سازند روته، سازند نسن، فرامینیفرا، سنگرود، مارسلان.

## ۱- مقدمه

رشته کوههای البرز در شمال ایران، در جنوب دریاچه خزر، که با روند تقریباً شرقی- غربی از آذربایجان تا خراسان امتداد دارند از شمال به بلوک فرو رفته کاسپین و از جنوب به فلات ایران مرکزی محدود میشوند. رشته کوههای البرز غربی، با سیستم قوسی شکل به عرض ۸۰ کیلومتر و طول ۳۰۰ کیلومتر، به موازات حاشیه جنوب غربی دریای خزر قرار گرفته‌اند. ناحیه سنگرود، در استان گیلان و در شمال شرق شهرستان لوشان واقع شده است. این منطقه از نظر تقسیم‌بندی زمین‌شناسی، در تقسیم‌بندی زمین‌شناسی (۱۳۵۵) در زون البرز- آذربایجان، در تقسیم‌بندی اشتامپلی (Stampfli, 1978) در زون البرز و بر اساس تقسیم‌بندی افتخار نژاد (۱۳۵۹) قسمتی از جنوب زون تکتونیکی البرز- غربی را تشکیل می‌دهد. برش مورد مطالعه در دره مارسلان، ۲۸ کیلومتری شمال‌شرق لوشان (شکل ۱) و در محدوده نقشه زمین‌شناسی ۱:۲۵۰۰۰۰ چهار گوش قزوین- رشت قرار دارد (Annells *et al.*, 1975). طول جغرافیائی برش مورد مطالعه  $39^{\circ} 36'$ -  $40^{\circ} 36'$  و عرض جغرافیائی آن  $36^{\circ} 38'$ -  $37^{\circ} 39'$  شمالي و شرقی می‌باشد (شکل ۲).



شکل ۱- راههای ارتباطی منطقه مورد مطالعه



شکل ۲- نقشه زمین شناسی منطقه مورد مطالعه

واحدهای سنگی متعلق به پرمین شامل سازندهای دورود، روته و نسن در منطقه سنگرود علیرغم دارا بودن ضخامت قابل توجه (شکل ۳) و همچنین گسترش جغرافیایی وسیع، تا کنون از نظر پراکندگی چینه‌شناسی فرمهای میکروفیزی موجود در آنها مورد مطالعه قرار نگرفته‌اند. مجموعه میکروفیزی موجود در رسوبات مورد مطالعه، به ترتیب فراوانی، از فرامینیفرها و جلبک تشکیل شده است. با توجه به فقدان میکروفیزیلهای شاخص با گسترش چینه‌شناسی محدود، مجموعه فرامینیفرهای هر یک از واحدهای سنگی در برش مورد مطالعه به عنوان یک بیوزون تجمعی معرفی شده‌اند. برای نامگذاری میکروفاسیس نمونه‌های مورد بررسی از تقسیم بندی دانهام (Dunham, 1962) استفاده شده است.

### چینه‌شناسی پرمین در برش مارسلان

#### سازندهای دورود

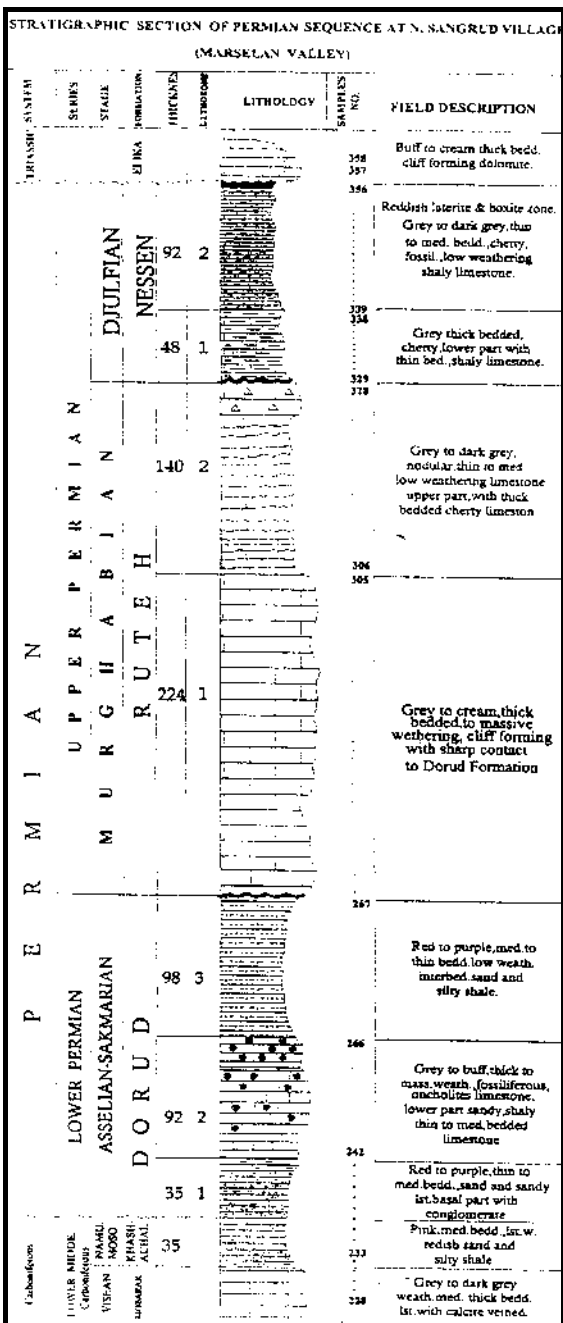
برش اصلی سازندهای دورود (Assereto, 1963) در شمال تهران، در بخش علیایی دره جاجروم و بر روی خط تقسیم حوضه‌های آبریز دره‌های دربندر و شمشک، انتخاب و بر اساس لیتولوژی به چهار لیتوزون تقسیم شده است. مطالعات بعدی نشان داده است که لیتوزون یک سازندهای دورود مربوط به کربونیفر است (Bozorgnia, 1973، هاشمی ۱۳۶۹). قاعده رسوبات دورود در تمام مناطق همزمان نبوده و عموماً با ناپیوستگی همشیب و گاه‌آن فرسایشی بر روی رسوبات مختلف پالئوزوئیک قرار می‌گیرند.

سازندهای دورود در برش مارسلان دارای رخساره آواری است و از نظر لیتولوژی شامل ۲۲۵ متر کنگلومرا و ماسه سنگ قرمز رنگ، شیل، سنگ آهک انکوئیدی و سیلتستون قرمز می‌باشد. وجود کنگلومراهای قرمز رنگ در قاعده سازندهای دورود پیش روی دریای پرمین پیشین است. سازندهای دورود در برش مورد مطالعه با ناپیوستگی همشیب روی سازندهای خاشاچال با سن کربنیفر میانی (Bashkirian / Moskovian) و با ناپیوستگی فرسایشی در زیر سازندهای روته قرار دارد.

براساس تغییرات لیتولوژی، در این سازندهای دورود قابل شناسایی است که از پائین به بالا عبارتند از:

**لیتوزون یک سازندهای دورود:** شامل ۳۵ متر کنگلومراهای قاعده‌ای، ماسه سنگ قرمز رنگ تا ارغوانی و آهک ماسه‌ای متوسط تا ضخیم لایه است. میکروفاسیس نمونه‌های این لیتوزون عبارتند از:

Mostly Grainstone; Grainstone to Packstone



شکل ۳- ستون استراتیگرافی برش مارسلان در ناحیه سنگرود

با توجه به وجود سن این لیتوزون *Schubertella transitoria, Mesoschubertella thompsoni* آسلین (Asselian) در نظر گرفته می‌شود.

**لیتوزون دو سازند دورود:** شامل ۹۲ متر آهک ماسه‌ای و شیلی در پائین و آهک انکوئیدی (Oncoid limestone) در قسمت بالا می‌باشد. میکروفاسیس نمونه‌های این لیتوزون عبارتند از:

Mostly Packstone to Grainstone, Wackstone, Mudstone

میکروفسیل‌های این لیتوزون شامل:

*Sphaeroschwagerina* sp., *Mesoschubertella thompsoni*, *Millerella elevata*, *Pseudofusulina diserta*, *Pseudoschwagerina* sp., *Pseudoepimastopora likana*.

با توجه به مجموعه میکروفسیل‌های فوق، این لیتوزون به ساکمارین (Sakmarian) نسبت داده می‌شود.

**لیتوزون سه سازند دورود:** شامل ۹۸ متر شیل سیلتی و ماسه‌ای ارغوانی تا قرمز رنگ بوده و قادر فسیل می‌باشد.

### سازند روتہ

برش اصلی سازند روتہ (Assereto, 1963)، در دره روتہ در بستر علیای دره جاجرود مطالعه و اندازه‌گیری شده است. این سازند به ضخامت ۲۳۰ متر شامل شش لیتوزون است که بزرگ نیا (Bozorgnia, 1973) ۲۵ متر آخر آن را که بین لایه لاتریتی و قاعده تربیاس قرار دارد به جلفین نسبت داده و آن را معادل نسن می‌داند. بین سازند دورود و روتہ یک واحد لاتریتی وجود دارد که اشتامپلی (Stampfli, 1978) ان را به نبود آرتینسکین مربوط میداند.

سازند روتہ در ناحیه سنگرود شامل ۳۶۴ متر آهک‌های صخره‌ساز در قاعده و آهک‌های نودولار و چرتی در بالا می‌باشد که با ناپیوستگی فرسایشی بر روی سازند دورود و بهمین صورت زیر سازند نسن قرار دارد.

این سازند از نظر تغییرات لیتولوژی، به دو لیتوزون قابل تقسیم است که از پائین به بالا عبارتند از:

**لیتوزون یک سازند روتہ:** این لیتوزون شامل ۲۲۴ متر آهک خاکستری ضخیم لایه تا توده‌ای است که در ناحیه مورد مطالعه به صورت صخره‌های پوششی رخمنون دارد. میکروفاسیس نمونه‌های این لیتوزون عبارتند از:

Wackstone, Grainstone, Packstone.

میکروفسیل های این لیتوزون عبارتند از:

*Codonofusiella* sp., *Nankinella orbicularia*, *Nankinella cacausia*, *Pachyphloia cukurköyi*, *Pachyphloia pedicula*, *pachyphloia iranica*, *Vermiporella nipponica*, *Pseudovermiporella* sp.

این لیتوزون، با توجه به مجموعه فونای آن به مرغابین پیشین (early Murghabian) نسبت داده شده است.

**لیتوزون دو سازند روتنه:** این لیتوزون با ۱۴۰ متر ضخامت، در قسمت پایین شامل آهک نودولار خاکستری رنگ نازک تا متوسط لایه و در قسمت بالا از نهشته های آهکی ضخیم لایه صخره ساز تشکیل شده است.

میکروfasیس نمونه های این لیتوزون شامل:

Mostly Wackstone, rarely Grainstone

بوده و میکروفسیل های موجود در این قسمت شامل:

*Pachyphloia pedicula*, *Pachyphloia cukurköyi*, *Pachyphloia iranica*, *Cryptoseptida anatoliensis*.

است که سن مرغابین پسین (late Murghabian) را برای این لیتوزون مشخص می کند.

### سازند نسن

برش اصلی سازند نسن (Glaus, 1965) در دهکده نسن واقع در بالای دره نور قرار دارد. این واحد سنگی با ضخامت ۱۴۴ متر بطور همسیب و بواسطه لایه های رسی قرمز تا سبز رنگ به ضخامت دو متر روی سازند روتنه قرار میگیرد و با ناپیوستگی همسیب زیر سازند الیکا قرار دارد. این سازند از نظر تغییرات لیتولوزیکی شامل دو لیتوزون می باشد که از پائین به بالا عبارتند از: **لیتوزون یک سازند نسن:** این لیتوزون شامل ۴۸ متر آهک چرتدار خاکستری رنگ ضخیم لایه در قسمت پائین و آهک شیلی نازک لایه در قسمت بالا می باشد. میکرو فاسیس نمونه های این لیتوزون شامل:

Wackstone, Wackstone to Packstone and rarely Grainstone.

بوده و میکروفسیل های این لیتوزون شامل:

*Pachyphloia iranica*, *Dagmarita chanakchiensis*, *Cryptoseptida anatoliensis*, *Frondina permica*, *Paraglobivalvulina mira*, *Tubiphytes obscurus*, *Mizzia velebitana*.

بوده و با توجه به مجموعه فونای فوق سن ان جلفین پیشین (early Djulfian) می‌باشد.  
**لیتوزون دو سازند نسن:** این لیتوزون به ضخامت ۹۲ متر در پایین شامل سنگ آهک چرت دار خاکستری رنگ، نازک تا متوسط لایه بوده و در بالا آهک شیلی می‌باشد.  
 میکروفاسیس نمونه‌های این لیتوزون شامل:

Mostly Packstone, rarely Wackstone and Mudstone, Reefs and algal boundstone  
 بوده و میکروفسیل‌های این لیتوزون شامل:

*Ichtyolaria nessenensis, Ichtyolaria latilimbata, Baisalina pulchra, Pachyphloia cukurköyi, Ichtyolaria primitiva, Frondina permica, Gymnocodium bellerophontis.*  
 می‌باشد. این لیتوزون با توجه به مجموعه فونای فوق به سن جلفین پیشین (early Djulfian) می‌باشد.

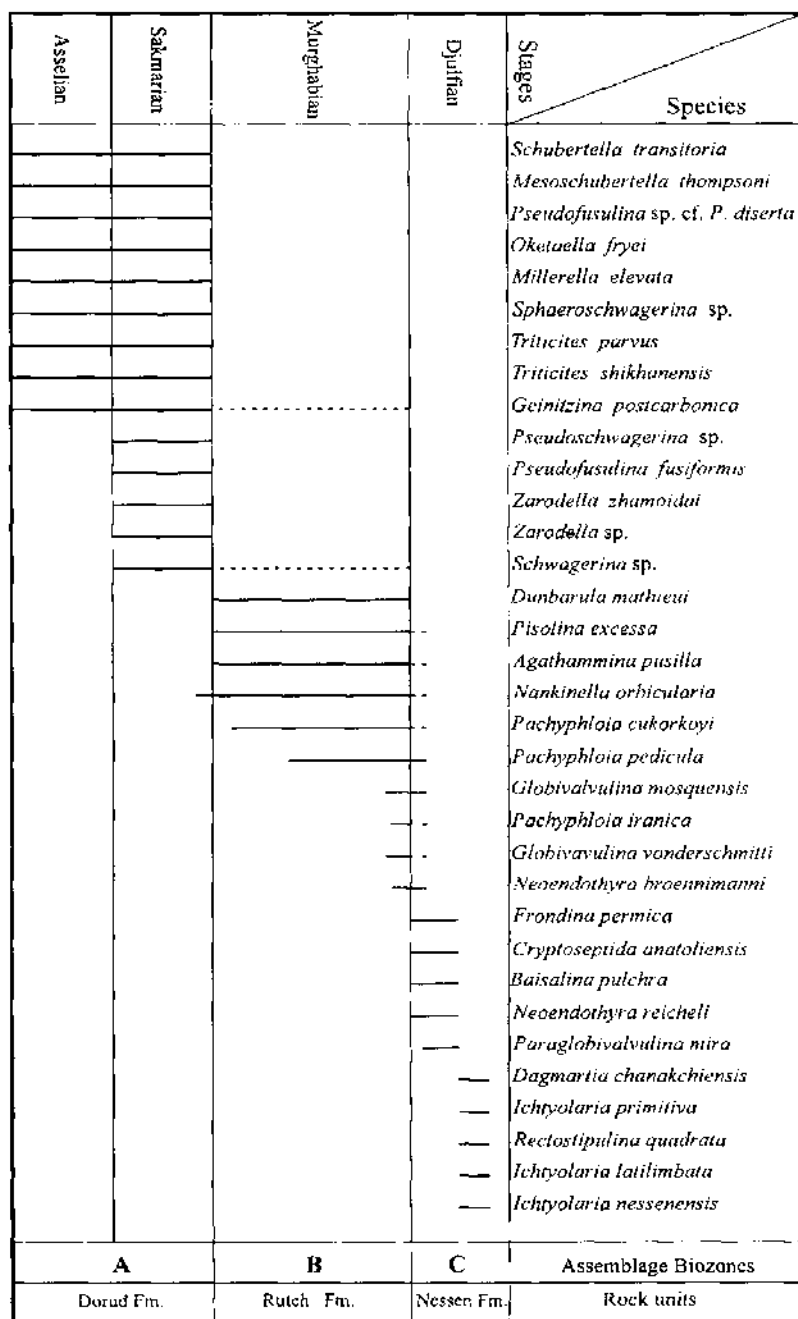
مرز بین سازند نسن با سازند روتہ به صورت ناپیوستگی فرسایشی بوده و سازند نسن نیز با ناپیوستگی همشیب (Disconformity) در زیر سازند الیکا (تریاس پیشین - میانی) قرار دارد. وجود لاتریت در مرز دو سیستم پرمین و تریاس نشانه خشکی زایی و قرارگیری منطقه مورد مطالعه در آب و هوای گرم و مريطوب با بارندگی سالیانه ۱۲۰۰ تا ۱۵۰۰ میلی متر (Doyle *et al.*, 1995) و نزدیک به عرض جغرافیایی ۳۰ درجه جنوبی & McKerrow, 1990) در اوخر دوره پرمین است.

### بیوستراتیگرافی نهشته‌های پرمین در برش مارسلان

براساس مطالعات میکروسکوپی نمونه‌های سنگی برداشت شده از رسوبات پرمین در برش مارسلان ۵۷ گونه فرامینیفرا (متعلق به ۳۷ جنس) و ۸ جنس و گونه از جلبک‌ها شناسایی شد. با توجه به گسترش چینه‌شناسی فرامینیفرها و جلبک‌های شناسایی شده (شکل ۴) سه زون تجمعی در نهشته‌های پرمین در برش مورد مطالعه تشخیص داده شده است. تصاویر میکروفسیلهای شناسایی شده در برش مورد مطالعه در پلیت‌های ۱ تا ۷ آورده شده‌اند.

### A بیوزون تجمعی

این بیوزون در سازند دورود با سن آسین-ساکمارین شناسایی شده است و میکروفسیلهای آن عبارتند از:



شکل ۴ - گسترش چینه شناسی میکروفسیل های شناسایی شده در رسوبات پرمین

*Schubertella transitoria, Mesoschubertella thompsoni, Pseudofusulina diserta, Oketaella fryei, Millerella elevata, Sphaeroschwagerina sp., Triticites parvus, Triticites shikhanensis, Pseudoschwagerina sp., Pseudofusulina fusiformis, Zarodella zhamoidai, Zarodella sp., Pseudoepimastopora likana.*

گونه‌های دارای *Schwagerina* sp., *Geinitzina postcarbonica*, *Hemigordius* sp. گسترش چینه‌شناسی وسیع بوده و تا انتهای مرغابین مشاهده شدند.

### B بیوزون تجمعی

این بیوزون در سازند روته با سن مرغابین شناسایی شده است و میکروفسیلهای آن عبارتند از: *Dunbarula mathieui, Pisolina excessa, Agathammina pusilla, Nankinella orbicularia, Pachyphloia cukurköyi, Pachyphloia pedicula, Globivalvulina mosquensis, Pachyphloia iranica, Globivalvulina vonderschmitti, Neoendothyra bronnimanni, Codonofusiella* sp., *Nankinella cacausia, Vermiporella nipponica, Pseudovermiporella* sp.

### C بیوزون تجمعی

این بیوزون در سازند نسن (در فاصله ۵۸۹ متری تا ۷۲۹ متری) با سن جلفین شناسایی شده است و میکروفسیل های آن عبارتند از:

*Frondina permica, Cryptoseptida anatoliensis, Baisalina pulchra, Neoendothyra reicheli, Paraglobivalvulina mira, Dagmarita chanakchiensis, Rectostipulina quadrata, Ichtyolaria latilimbata, Ichtyolaria nessensis, Mizzia velebitana, Tubiphytes obscurus, Ichtyolaria primitiva, Gymnocodium bellerophontis.*

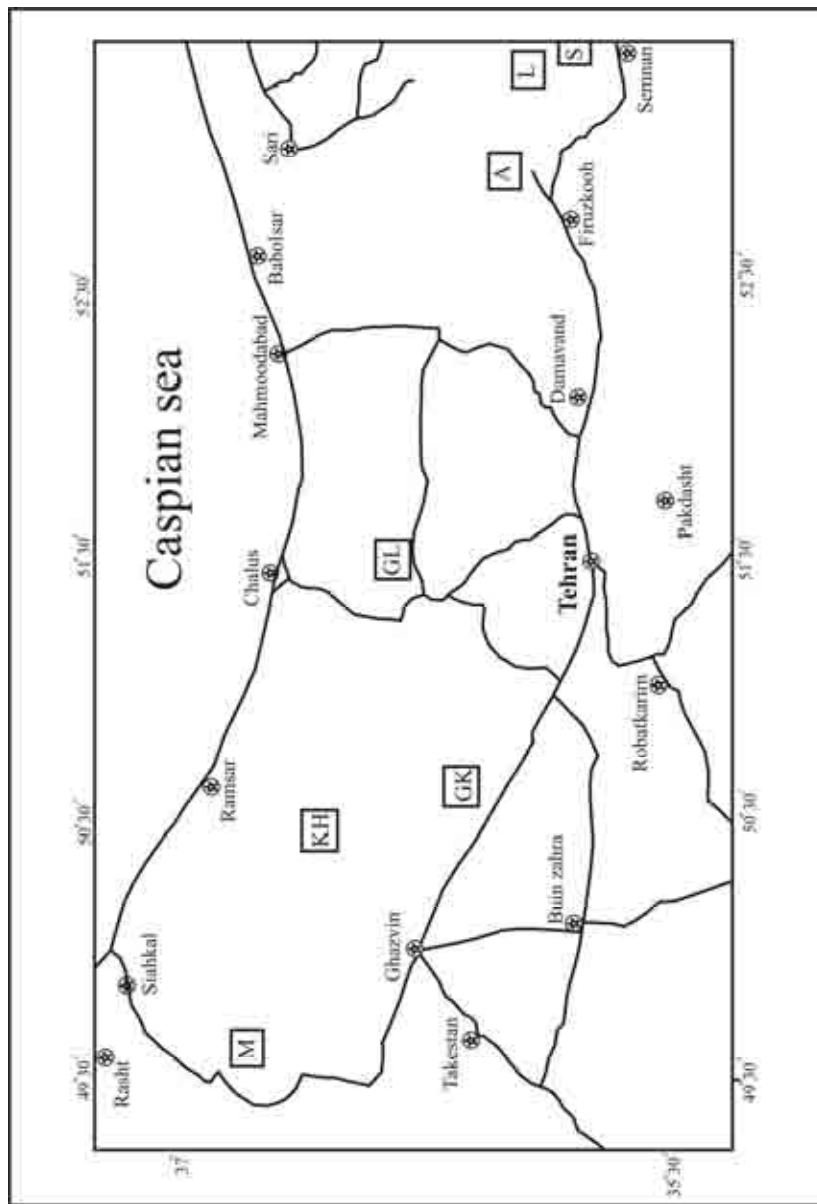
### گونه‌های

*Pachyphloia cukurköyi, Agathammina pusilla, Nankinella orbicularia, Pisolina excessa, Pachyphloia iranica, Pachyphloia pedicula, Globivalvulina mosquensis, Globivalvulina vonderschmitti, Neoendothyra bronnimanni.*

نه تنها در سازند روته (به سن مرغابین) حضور داشته اند بلکه در ابتدای سازند نسن (جلفین پیشین) نیز مشاهده شده‌اند.

### مقایسه رسوبات مورد مطالعه با نهشته‌های پرمین در برخی از مقاطع چینه شناسی البرز مرکزی

نهشته‌های پرمین در برشهای خاشاچال، گردکله، گلستانه، کوه لاج، سنگسر و آرو مورد مقایسه قرار گرفته‌اند. موقعیت جغرافیایی مقاطع چینه‌شناسی مذکور در شکل ۵ آورده شده است.



شکل ۵- موقعیت جغرافیایی برشهای مارسلان (M)، گردکله (Kh)، خاشچال (GI)، آرو (A)، سنگسر (S) و لاج (L).

برش خاشاچال (البرز مرکزی) در ۶۰ کیلومتری شمال خاور قزوین و در شمال دهکده معلم کلایه در دامنه شمالی کوه خاشاچال واقع شده است. فاصله دهکده معلم کلایه تا کوه خاشاچال حدوداً ۱۵ کیلومتر است (پرتوآذر، ۱۳۷۴). برش گردکله (البرز مرکزی) در ۷۸ کیلومتری اتوبان تهران - قزوین، شمال خاوری دهکده هیو و شلمزار در دامنه جنوبی کوه گردکله واقع شده است. (پرتوآذر، ۱۳۷۴). برش گلستانه (البرز مرکزی) در ۱۵ کیلومتری شرق جاده تهران - چالوس، در دره الیکا (روستای الیکا) قرار دارد (غیرتمند، ۱۳۸۱). برش آرو (البرز مرکزی) در ۹۰ کیلومتر شرق تهران، نزدیک دهکده آرو واقع شده است (Ghasemi-Nejad, 2002). برش کوه لاج (البرز مرکزی) در ۵ کیلومتری شمال خاوری شهرستان مهدی شهر (سنگسر) و در ۲۳ کیلومتری شمال سمنان قرار دارد (پرتوآذر، ۱۳۷۴). برش سنگسر (البرز مرکزی) در ۱۸ کیلومتری شمال شهر سمنان و یک کیلومتری شمال باختر شهرستان مهدی شهر (سنگسر) قرار دارد (پرتوآذر، ۱۳۷۴).

مقایسه رسوبات پرمین در برش مارسلان با نهشته‌های پرمین در برش خاشاچال به ضخامت ۷۹۶ متر، در برش گردکله به ضخامت ۶۲۲ متر، در برش گلستانه به ضخامت ۷۵۸ متر، در برش لاج به ضخامت ۱۸۷ متر، در برش سنگسر به ضخامت ۱۸۵ متر و در برش آرو به ضخامت ۲۱۱ متر، نشان می‌دهد که ضخامت رسوبات پرمین در برش‌های مارسلان، گلستانه، خاشاچال و گردکله (در غرب البرز مرکزی) بیشتر از برش‌های لاج، سنگسر و آرو (در شرق البرز مرکزی) است و در واقع از سمت غرب به شرق ضخامت این طبقات رسوبی کاهش می‌یابد.

همچنین ضخامت سنگ آهک انکولیتی در سازند دورود از غرب به شرق بتدريج کم می‌شود بدین صورت که در برش مارسلان ۹۲ متر، در برش خاشاچال ۸۰ متر، در برش گلستانه ۷۰ متر و در برش گردکله ۸ متر اندازه‌گیری شده است اما به سمت شرق در برش‌های کوه لاج، سنگسر و آرو اثری از آن دیده نمی‌شود. این تغییر ضخامت نشان دهنده عمیق شدن دریا از سمت شرق به سمت غرب در البرز در زمان تشکیل سازند دورود می‌باشد. سن سازند دورود در برش‌های مارسلان، گلستانه و گردکله آسلین - ساکمارین و در برش‌های آرو و خاشاچال آسلین می‌باشد. در برش کوه لاج و سنگسر این سازند به سن ساکمارین می‌باشد.

سن سازند روته در برش‌های آرو، گردکله، کوه لاج و سنگسر آرتینسکین - مرغابین و در برش‌های گلستانه و مارسلان مرغابین و در برش کوه خاشاچال سن این سازند ساکمارین - آرتینسکین است. در تمام برش‌های مورد مقایسه سن سازند نسن، جلفین می‌باشد.

مرز زیرین سازندهای مربوط به پرمین در برش‌های کوه لاج، سنگسر و آرو بصورت ناپیوستگی همشیب بر روی سازند مبارک باسن ویژن قرار می‌گیرند. در برش‌های گلستانه، مارسلان و کوه خاشاچال رسوبات مربوط به پرمین بر روی سازند خاشاچال با سن نامورین – مسکووین بصورت ناپیوستگی همشیب قرار دارند. در برش گردکله رسوبات پرمین بصورت ناپیوسته بر روی سنگهای ولکانیکی کف حوضه رسوبی قرار گرفته‌اند.

در تمام برشهای مذکور، رسوبات تریاس زیرین – میانی (سازند الیکا) بصورت ناپیوستگی همشیب، سازندهای مربوط به پرمین را می‌پوشاند.

به استثنای برشهای مارسلان، آرو و کوه خاشاچال که مرزبین سازندهای دورود و روته بصورت ناپیوستگی فرسایشی است، در سایر مقاطع این مرز کاملاً تدریجی و پیوسته است.

در بین سازندهای روته و نسن در برش گردکله یک افق لاتریت و بوکسیت همراه با سنگهای ولکانیکی وجود دارد. در برش گلستانه این مرز با انفجار و فوران ولکانیکی در زیر آب مشخص می‌شود که سبب ایجاد ۷۰ متر سنگ ولکانیکی تیره رنگ در قاعده سازند نسن شده است (غیرتمدن، ۱۳۸۱). در برشهای کوه لاج، سنگسر، خاشاچال و مارسلان این مرز بصورت پیوسته و همشیب است. در برش آرو رسوبات لاتریتی با یک قاعده کنگلومرائی، سازند روته را می‌پوشاند و سازند نسن در اثر فرسایش کاملاً حذف شده است.

در برشهای کوه لاج، سنگسر، گردکله و مارسلان بین رسوبات مربوط به سازند نسن و رسوبات مربوط به تریاس زیرین – میانی (سازند الیکا) یک افق مشخص لاتریت و بوکسیت وجود دارد. ضخامت این افق در برش کوه خاشاچال بسیار کم شده و در برش گلستانه کاملاً حذف می‌شود.

### نتیجه‌گیری

مطالعه چینه شناسی رسوبات پرمین در منطقه سنگرود منجر به شناسایی سازندهای دورود، روته و نسن، به ترتیب از پایین به بالا شده است. همچنین سه لیتوزون در سازند دورود، دو لیتوزون در سازند روته و دو لیتوزون در سازند نسن تشخیص داده شده است. بر اساس گسترش چینه شناسی فرامینیفرها سه بیوزون تجمعی برای رسوبات پرمین در برش مورد مطالعه پیشنهاد شده است. بر اساس گسترش میکروفیزیل‌های شناسایی شده (شامل فرامینیفرها و جلبک‌ها) سازند دورود (۲۲۵ متر) به آسلین – ساکمارین، سازند روته (۳۶۴ متر) به مرغابین و سازند نسن (۱۴۰ متر) به جلفین پیشین نسبت داده می‌شوند. وجود لاتریت بین رسوبات پرمین و تریاس در برش مورد مطالعه نشان دهنده وجود آب و هوای گرم و مرطوب با بارندگی

سالیانه ۱۵۰۰ تا ۱۲۰۰ میلی‌متر و نزدیک به عرض جغرافیایی ۳۰ درجه جنوبی در اواخر دوره پرمین است. مقایسه برش مورد مطالعه با چندین برش از سازندهای با سن پرمین در البرز مرکزی نشان می‌دهد که ضخامت رسوبات پرمین در غرب البرز (در برش‌های مارسلان، گلستانه و گردکله) بیشتر از ضخامت رسوبات در شرق البرز (برش‌های لاج، سنگسر و آرو) می‌باشد و در واقع از سمت غرب به شرق حوضه رسوی البرز، ضخامت طبقات مربوط به پرمین کاهش می‌یابد.

## Explainations of plates

### Plate 1

Fig. 1: *Glomospirella ammoniscoidea* (Rauser – Chernoussova),  $\times 79$ .

Fig. 2: *Eotuberitina reitlingerae* Miklukho – Maklay,  $\times 79$ .

Fig. 3: *Geinitzina postcarbonica* Spandel,  $\times 79$ .

Figs. 4, 14: *Pachyphloia pedicula* Lange, Fig. 4:  $\times 50$ , Fig. 14  $\times 79$ .

Figs. 5, 6, 8, 17: *Pachyphloia cukurköyi* de Civrieux & Dessauvagie, Figs. 5, 6  $\times 50$ ,  
Fig. 8, 17  $\times 79$ .

Figs. 7, 13, 15: *Pachyphloia iranica* Bozorgnia, Fig. 7:  $\times 79$ , Fig. 13:  $\times 40$ , Fig. 15:  
 $\times 79$ .

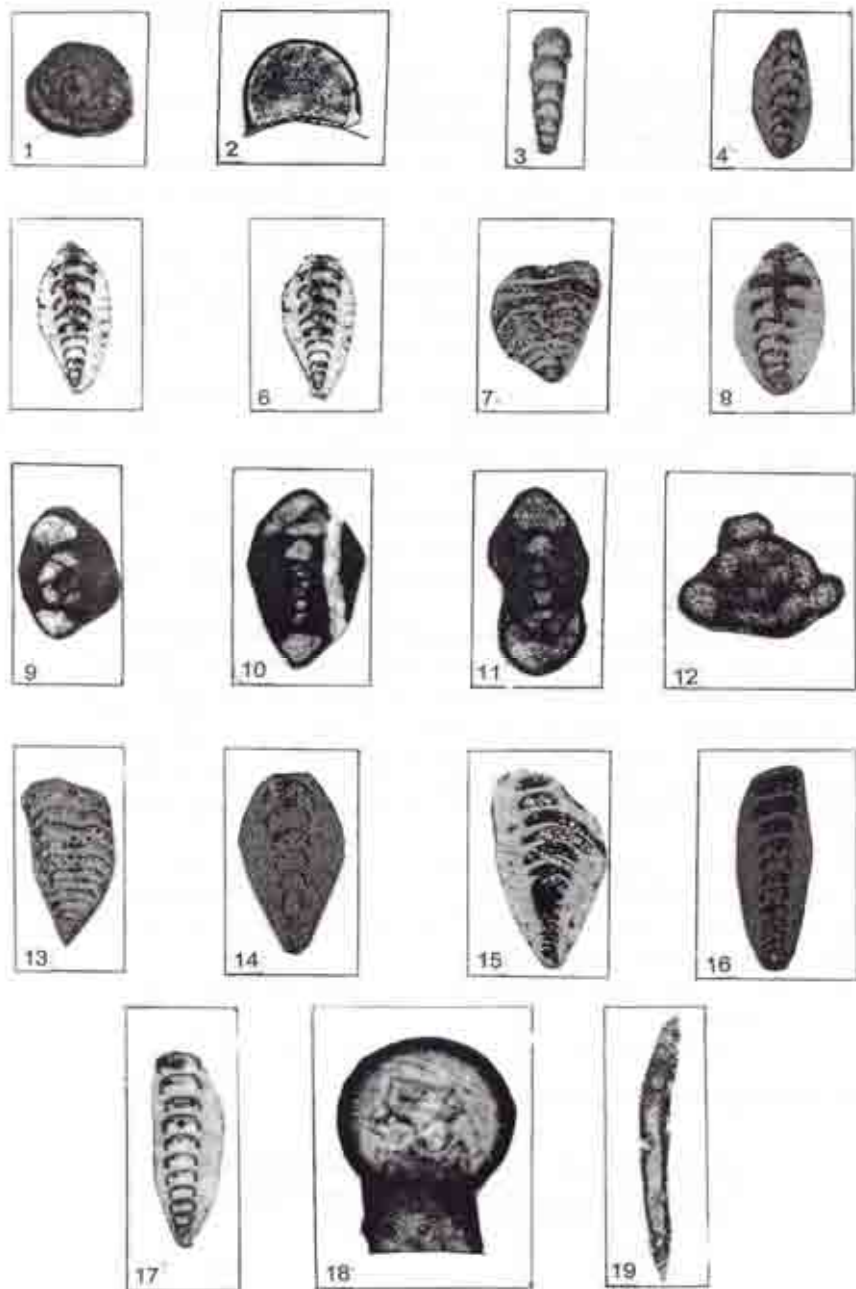
Fig. 9: *Neoendothyra bronnimanni* Bozorgnia,  $\times 79$ .

Figs. 10, 11: *Neoendothyra reicheli* Reitlinger, Fig. 10:  $\times 50$ , Fig. 11:  $\times 79$ .

Fig. 12: *Glomospira inconstans* Michalik, Jendrekova & Borzoa,  $\times 50$ .

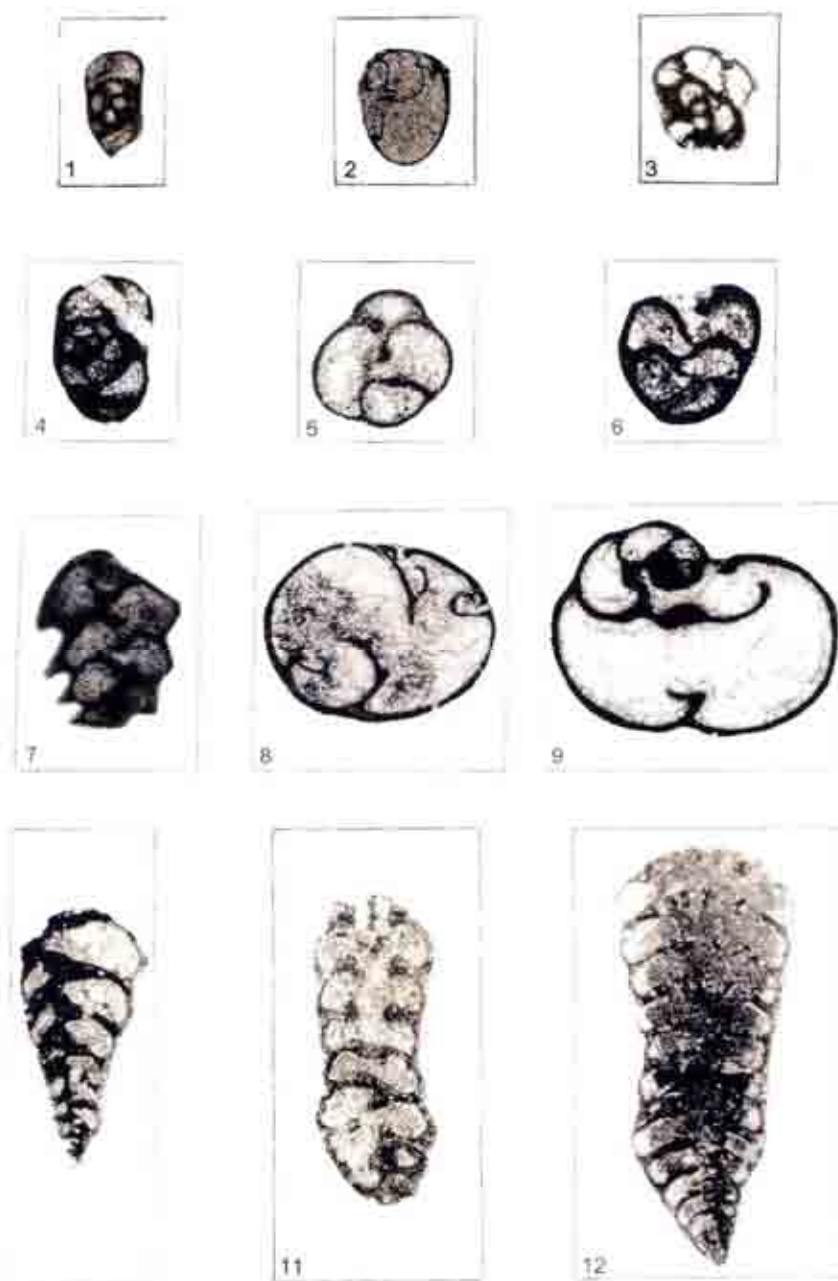
Fig. 18: *Diplosphaerina* sp.,  $\times 200$ .

Fig. 19: *Earlandia vulgaris* (Rauzer - Chernoussova & Reitlinger),  $\times 63$ .



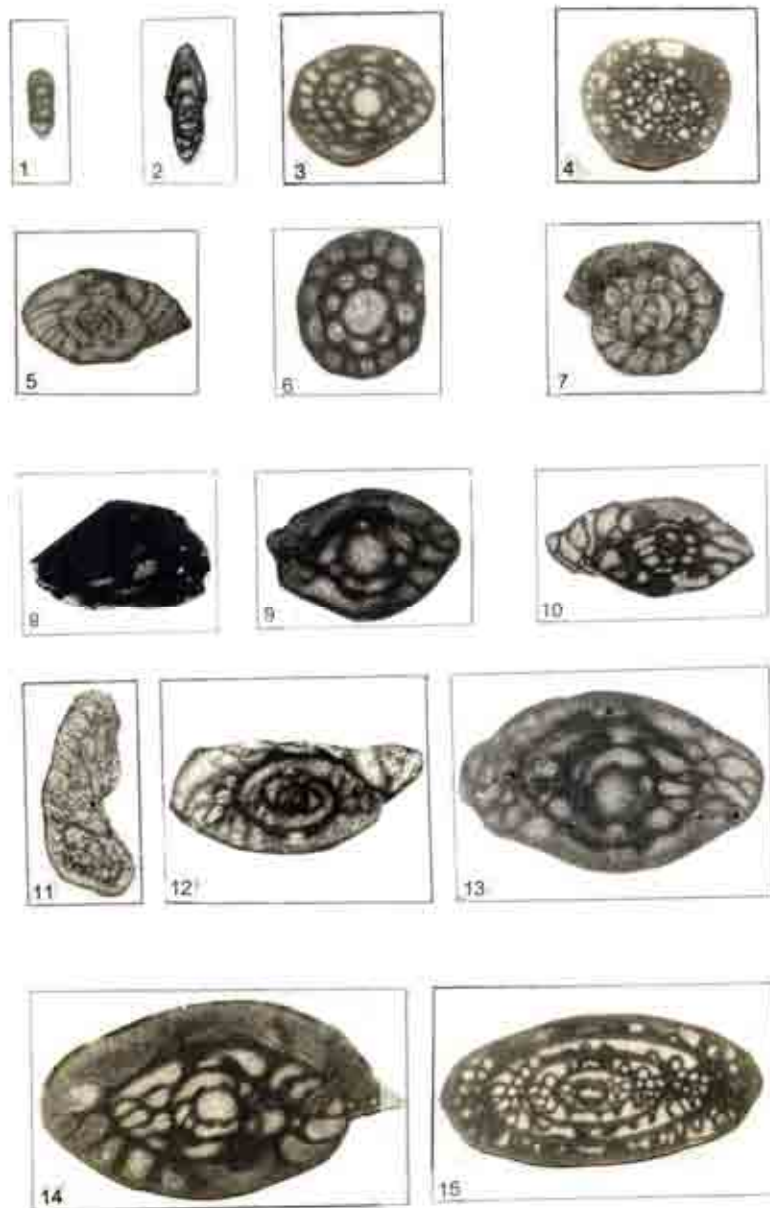
## Plate 2

- Figs. 1, 4: *Endothyra omphalota* (Rauzer – Chernoussova & Reitlinger), Fig. 1:  $\times 79$ , Fig. 4:  $\times 120$ .
- Figs. 2, 9: *Globivalvulina vonderschmitti* Reichel, Fig. 2:  $\times 50$ , Fig. 9:  $\times 50$ .
- Fig. 3: *Endothyra apposita* Ganelina,  $\times 79$ .
- Fig. 5: *Globivalvulina mosquensis* Reitlinger,  $\times 79$ .
- Fig. 6: *Globivalvulina bulloides* Brady,  $\times 50$ .
- Fig. 7: *Dagmarita chanakchiensis* Reitlinger,  $\times 79$ .
- Fig. 8: *Paraglobivalvulina mira* Reitlinger,  $\times 50$ .
- Fig. 10: *Deckerellina* sp.,  $\times 40$ .
- Fig. 11: *Deckerella composita* Reitlinger,  $\times 32$ .
- Fig. 12: *Climacammina major* Morozova,  $\times 32$ .



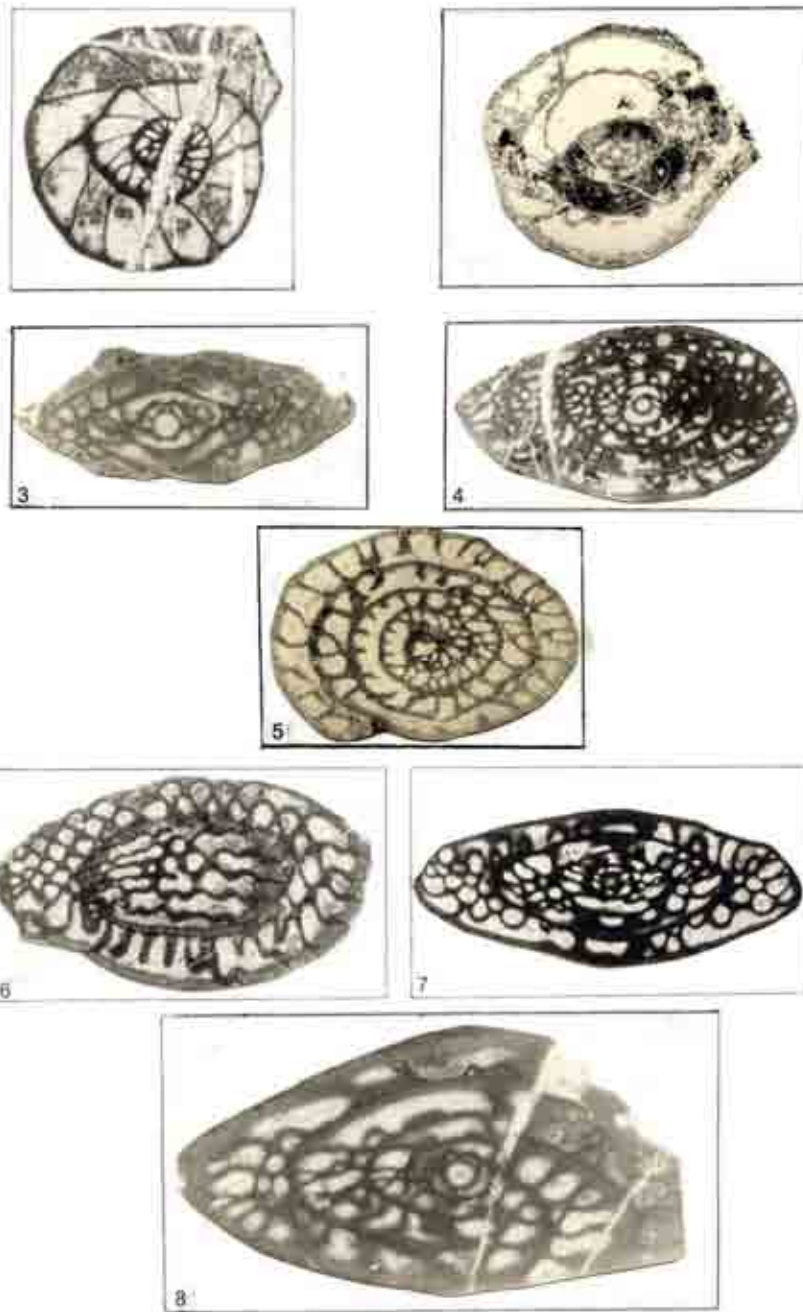
### Plate 3

- Fig. 1: *Mediocris breviscula* (Ganelina),  $\times 79$ .
- Fig. 2: *Millerella elevata* Han et Zhao,  $\times 79$ .
- Figs. 3, 6, 14: *Oketaella fryei* Thompson, Fig. 3:  $\times 50$ , Fig. 6:  $\times 79$ , Fig. 14:  $\times 50$ .
- Figs. 4, 15: *Pseudofusulina fusiformis* Schellwien & Dyhrenfurth,  $\times 20$ , Fig. 4:  $\times 20$ ,  
Fig. 15:  $\times 20$ .
- Figs. 5, 12: *Codonofusiella* sp., Fig. 5:  $\times 50$ , Fig. 12:  $\times 79$ .
- Fig. 7: *Dunbarula mathieui* Ciry,  $\times 79$ .
- Fig. 8: *Pseudostaffella* sp.,  $\times 79$ .
- Fig. 11: *Reichelina cribroseptata* Erk,  $\times 63$ .
- Figs. 9, 13: *Mesoschubertella thompsoni* Sakagami in Kanuma & Sakagami,  $\times 79$ .
- Fig. 10: *Schubertella transitoria* Staff & Wedekind,  $\times 50$ .



## Plate 4

- Fig. 1: *Pseudoschwagerina* sp.,  $\times 79$ .
- Fig. 2: *Sphaeroschwagerina* sp.,  $\times 125$ .
- Figs. 3, 8: *Triticites parvus* Chen, Fig. 3:  $\times 40$ , Fig. 8:  $\times 79$ .
- Fig. 4: *Pseudofusulina huecoensis* Dunbar & Skinner,  $\times 40$ .
- Fig. 5: *Pseudofusulina* sp. cf. *P. diserta* Scherbovich,  $\times 20$ .
- Fig. 6: Schwagerina sp.,  $\times 25$ .
- Fig. 7: *Triticites shikhanensis*,  $\times 32$ .



## Plate 5

Figs. 1, 2, 3, 4, 9, 10: *Hemigordius* sp., Fig. 1:  $\times 63$ , Fig. 2:  $\times 160$ , Figs. 3, 4:  $\times 79$ ,

Figs. 9, 10:  $\times 200$ .

Fig. 5: *Zarodella zhamoidai* Sosnina,  $\times 200$ .

Fig. 6: *Kahlerina* sp.,  $\times 79$ .

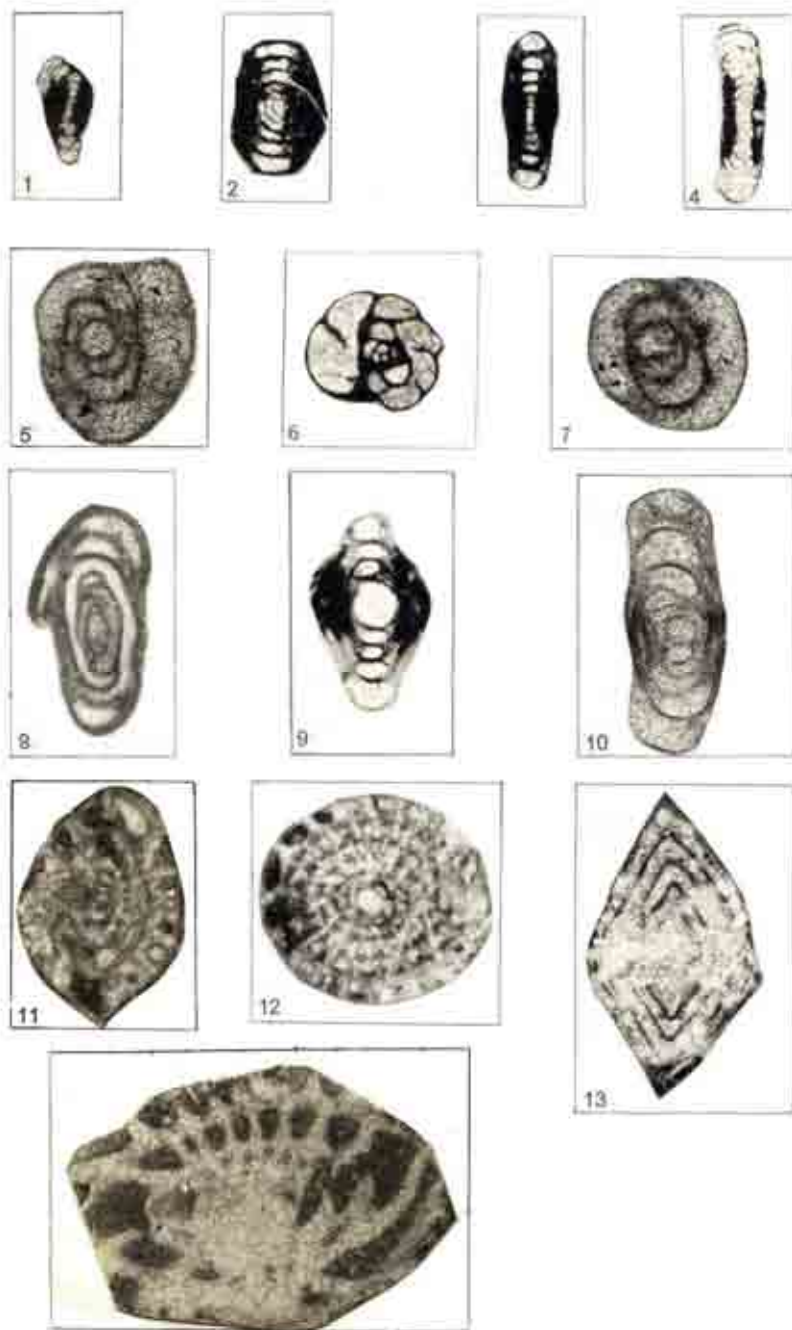
Fig. 7: *Zarodella* sp.,  $\times 200$ .

Fig. 8: *Agathammina pussila* (Geinitz), in Geinitz and Gubtierz,  $\times 79$ .

Figs. 11, 14: *Nankinella cacausia* Dutkevich,  $\times 63$ .

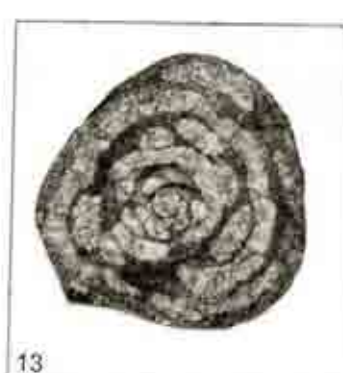
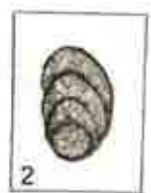
Fig. 12: *Pisolina excessa* Lee,  $\times 32$ .

Fig. 13: *Nankinella orbicularia* Lys,  $\times 25$ .



## Plate 6

- Figs. 1, 2, 9: *Frondina permica* de Civrieux & Dessauvagie,  $\times 79$ .
- Fig. 3: *Rectostipulina quadrata* Jenny & Deshussese,  $\times 79$ .
- Fig. 4: *Cryptoseptida anatoliensis* Sellier de Civrieux & Dessauvagie,  $\times 79$ .
- Figs. 5, 6: *Ichtyolaria latilimbata* de Civrieux & Dessauvagie, Fig. 5:  $\times 160$ , Fig. 6:  $\times 200$ .
- Fig. 7: *Ichtyolaria primitiva* de Civrieux & Dessauvagie, elongate section  $\times 79$ .
- Fig. 8: *Frondinodosaria* sp.,  $\times 79$ .
- Figs. 11, 12: *Ichtyolaria nessensis* Bozorgnia, Fig. 11:  $\times 79$ , Fig. 12:  $\times 200$ .
- Figs. 10, 13: *Baisalina pulchra* Reitlinger, Fig. 10:  $\times 40$ , Fig. 13:  $\times 79$ .



## Plate 7

Figs. 1, 2: *Pseudovermiporella* sp.  $\times 20$ .

Figs. 3, 4: *Vermiporella* sp.  $\times 50$ .

Figs. 5, 6: *Pseudovermiporella nipponica*  $\times 25$ .

Fig. 7: *Osagia incrustedata*  $\times 50$ .

Fig. 8: *Osagia* sp.  $\times 200$ .

Figs. 9, 11, 12: *Mizzia velebitana* Schubert, Fig. 9:  $\times 32$ , Fig. 11:  $\times 50$ , Fig. 12:  $\times 12.5$ .

Fig. 10: *Girvanella permica* & *Gymnocodium* sp.  $\times 160$ .

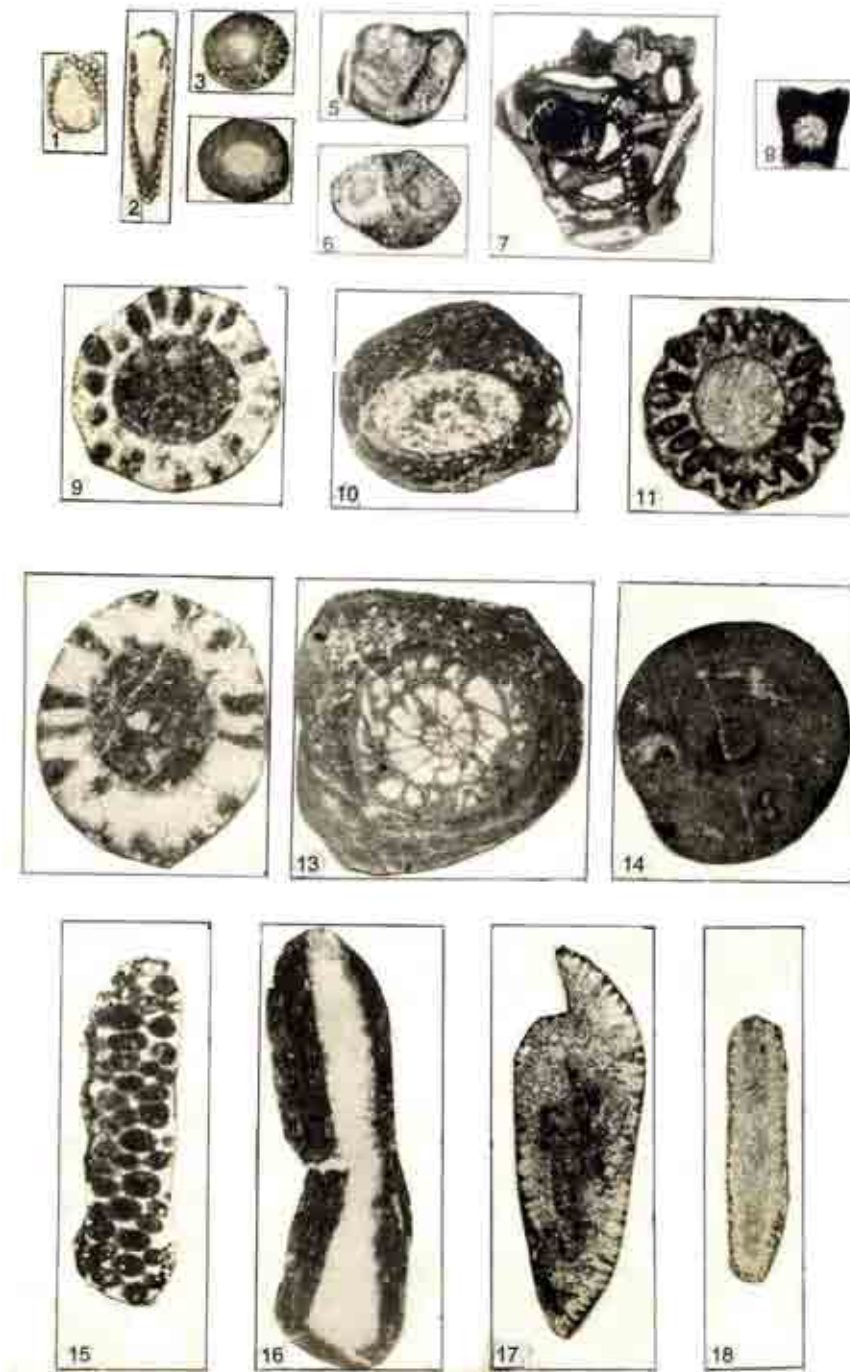
Fig. 13: *Girvanella permica* & *Schwagerina* sp.  $\times 12.5$ .

Fig. 14: *Tubiphytes obscurus* Maslov  $\times 32$ .

Fig. 15: *Pseudoepimastopora likana* (Kocha. et Her.)  $\times 50$ .

Fig. 16: *Girvanella permica* & shell fragment  $\times 160$ .

Figs. 17, 18: *Gymnocodium bellerophontis* Pia  $\times 25$ .



## References

- Annells, R.N.; Arthurton, R.S.; Bazley, R.A., & Davis, R.G. (1975) *Explanatory text of the Qazvin and Rasht Quadrangles Map 1: 250,000*, Geol. Surv. of Iran. 94 p.
- Assereto, R., (1963) *The Paleozoic formations in Central Elburz (Iran), del Imam Zadeh Hashim (Elburz Central)*, Riv. Ital. Paleont, **74 (1)**, 3-21.
- Bozorgnia, F. (1973) *Palaeozoic foraminiferal biostratigraphy of Central and East Alborz Mountains, Iran*. N. I. O. C., Geol. Lab., Publ. No. 4, 185 p.
- Doyle, P., Bennet, M.R., & Baxter, A.N. (1995) *The key to earth history*. John Wiley & Sons, 231p.
- Dunham, R.I. (1962) *Classification of carbonate rocks according to depositional texture*, Amer. Assoc. Petrol. Geol. Mem. No. **1**, 108-121.
- Ghasemi-Nejad, A. (2002) *Biostratigraphy and depositional history of the Paleozoic deposits in the south of Central Alborz Basin, based on Foraminifera*.- Iran. Intern. Journal of Sci., **3(1)**, 69-114.
- Glaus, M. (1965) *Die Geologie des Gebietes nordlich des Kandovan-Passes (Zentral-Elburz)* Iran. Mitt. Geol. Inst. E. T. H. U. Zurich, N. S., No. 48, 165 p.
- Scotese, C.R., & McKerrow, W.S. (1990) *Revised world maps and introduction. Palaeozoic Palaeogeography and Biogeography*. Geol. Soc. Mem., No. **12**, 1-21.
- Stampfli, G.M. (1978) *Etude géologique générale de Elburz oriental au sud de Gonabad-e-Qabus, Iran NE*. Thèse Genéve, 1-329.

افتخار نژاد، ج ، (۱۳۵۹) : تفکیک بخش های مختلف ایران از نظر وضع ساختمانی در ارتباط با حوزه های رسوبی، نشریه انجمن نفت ، شماره ۸۲ ، ۲۸ – ۲۸ صفحه.

پرتوادر، ح (۱۳۷۴) : سیستم پرمین در ایران، سازمان زمین شناسی کشور، ۳۴۰ صفحه.

غیرتمند، ن (۱۳۸۱) : بیوستراتیگرافی و لیتوستراتیگرافی رسوبات کربونیفر - پرمین در برش گلستانه در شمال دره الیکا (البز مرکزی) با تگریشی ویژه به مرز کربونیفر - پرمین. رساله کارشناسی ارشد، دانشگاه تهران، ۱۲۹ صفحه.

نبوی ، م ح ، (۱۳۵۵) . دیباچه ای بر زمین شناسی ایران، انتشارات سازمان زمین شناسی کشور . ۱۰۹ . ۱۰۹ صفحه.

هاشمی، ح (۱۳۶۹) : مطالعه پالینولوژیکی رسوبات برش تیپ سازند دورود در albز مرکزی و ارتباط پالئوئوگرافی این ناحیه با خشکی گندوانا در دوره پرمین، دانشکده علوم، ۱۷۳ صفحه.